Tom 90 1990 N: 4

эДК 539.3

МЕХАНИКА

В. В. Гиуни

Проектирование оптимальных цилиндрических оболочек из композиционных материалов, загруженных осевой силой, при ограничениях на прочность и частоты собственных колебаний

(Представлено чл,-корр. АН Армянской ССР В. С. Саркисяном 20/11 1990)

В работе приводятся постановка и решение задачи проектиронания загруженной силой P цилиндрической оболочки из композиционных материалов, работающей в режиме собственных колебаний.

1. Для частот собственных колебаний цилиндрической оболочки средней длины l, раднуса P, толщины h, изготовленной из монослоев ортотропного композиционного материала (КМ), уложенных поочередно под углами $\pm \eta$ к образующей и загруженной силой P, имеется следующая формула (1 4):

$$\Omega_{mn} = \omega_{mn} \left(1 - \frac{P}{P_{mn}^*} \right)^{1/2} \tag{1.1}$$

Здесь m—число полуволи по образующей, n—число воли в окружном направлении шарнирно опертой по торцам оболочки

$$m_{mn} = \left(\frac{K_{mn}}{n^k}\right)^{\frac{1}{2}} \qquad P_{mn} = \frac{RK_{mn}}{m} - \tag{1.2}$$

соответственно частота собственных свободных колебаний и собственные значения задачи устойчивости сжатой силой P цилиндрической оболочки

$$K_{mn} = \frac{h^3}{12} \left[B_{11}^{-1} + B_{3}^{-1} + B_{22}^{-1} + \frac{12}{R^2 h^2} \frac{(B_{11}^{-1} B_{22} - B_{12}^{-1})^{-\frac{4}{m}}}{B_{11}^{-1} + B_{3}^{-1} + B_{3}^{-1} + B_{22}^{-1}} \right]$$

$$I_{m} = \frac{m\pi}{l}, \qquad \mu_{n} = \frac{n}{R}, \qquad (1.3)$$

$$B_{3} = 2(B_{12} + 2B_{mn}), \quad B_{3} = \frac{B_{11} B_{22} - P_{12}^{-1}}{P_{mn}} - 2B_{12},$$

 B_{iR} —характеристики упругости монослоя в главных геометрических направлениях оболочки.

 H_3 (1.1) при заданных $\Omega_{mn} = \Omega$ и толщине оболочки h для расчетного значения силы P получается

$$\overline{P}(m, n, \varphi) = \frac{1}{m^2} (\overline{K}_{mn} - \overline{h} \, \overline{\Omega}^2), \qquad (1.4)$$

гле

$$\overline{P} = \frac{10^{6}P}{2\pi R^{2}B_{11}^{0}} = \overline{x} : \frac{10^{4} \cdot l^{2}}{\pi^{2} l^{3}} \cdot 2$$

$$\overline{K}_{mn} = \frac{\overline{h}^{3}}{12} \left(\frac{\pi R}{l}\right)^{2} \left| \overline{B}_{12} m^{4} + \overline{B}_{3} m^{2} n^{2} - D_{22} n^{4} + \frac{12 \cdot 10^{4}}{\overline{h}^{2}} \left(\frac{l}{\pi R}\right)^{4} \frac{(\overline{B}_{11} \overline{B}_{2} - \overline{B}_{12}^{2}) m^{4}}{\overline{B}_{11} m^{4} + \overline{l}_{3} m^{2} n^{2} + \overline{B}_{23} n^{4}} \right|$$

$$\overline{B}_{lk} = \frac{B_{lk}}{B_{11}^{0}} + \overline{n} = \frac{nl}{\pi R}, \quad \overline{h} = 100 \frac{h}{R}.$$
(1.5)

Для практических целей представляет интерес нахождение

$$\overline{P}_{g}(\mathfrak{D}, \overline{h}, \overline{\Omega}) = \min_{m,n} \overline{P}(m, n, \mathfrak{D}, \overline{h}, \overline{\Omega}), \tag{1.6}$$

причем при $\overline{\Omega}=0$ получается, что $\overline{P}_g=\overline{P}_{\kappa p}$, где \overline{P}_{rp} —критическое значение силы \overline{P}_r .

Необходимо отметить, что из соотношения (1.4) можно определить h(m,n,z) при заданных P и Ω . В этом случае для определения h_{mn} получается следующее кубическое уравнение:

$$\bar{h} - A_{mn}\bar{h} - F_{mn} = 0,$$
 (1.7)

где

$$A_{mn} = \frac{12R}{\pi^{2}l} \frac{\Omega^{2} - \frac{10^{4}l^{3}}{\pi^{2}R^{3}} \frac{(B_{11}B_{22} - B_{12}^{2})m^{4}}{B_{11}m^{3} + B_{3}m^{2}n^{2} + B_{22}n^{4}}}{B_{11}m^{4} + B_{3}m^{2}n^{2} + B_{3n}n^{4}},$$

$$(1.8)$$

$$F_{mn} = \frac{12R}{\pi^{2}l} m^{2} \frac{P}{B_{11}m^{4} + B_{3}m^{2}n^{2} + B_{22}n^{4}}$$

Естественно, нахождение толщины пластинки

$$\overline{h}_{n}(z, \overline{P}, \overline{\Omega}) = \max_{m,n} \overline{h}(m, n, z, \overline{P}, \overline{\Omega}). \tag{1.9}$$

при которой первая частота собственных колебаний равна Ω для заданных P и ϕ .

Задачи (1.6) и (1.9) являются двойственными, и решение одной

из них обеопечивает решение другой.

2. Ограничение на прочность в настоящей работе обеспечивается условнем (6)

$$\frac{a_{11}^2}{a_{21}^2} + \frac{a_{22}^2}{a_{22}^2} - \frac{a_{11}^2a_{22}}{a_{21}^2} + \frac{a_{12}^2}{a_{22}^2} \le 1, \tag{2.1}$$

где

$$\sigma_{12} = -\frac{P}{2\pi Rh} (\cos^2 \varphi + L \sin 2\varphi),$$

$$\sigma_{22} = -\frac{P}{2\pi Rh} (\sin^2 \varphi - L \sin 2\varphi),$$

$$\sigma_{12} = -\frac{P}{2\pi Rh} (\frac{1}{2} \sin 2\varphi - L \cos 2\varphi) -$$
(2.2)

напряжения в главных физических направлениях ортотропного монослоя КМ, -101, -122, -110 — допускаемые напряжения,

$$I = \frac{B_{16}B_{22} - B_{26}B_{11}}{B_{11}B_{22} - B_{12}^2}.$$

Для алгоритма решения задачи не существен вид условия. При необходимости можно использовать другие, более сложные условия прочности.

Из условия прочности (2.1) при напряжениях (2.2) для расчетной толщины оболочки получается

$$\overline{h}_{np}(\varphi, \overline{P}) = \frac{B_{1}^{n} \overline{P}}{10^{4} z_{B1}} \left| (\cos^{2}\varphi + L\sin 2\varphi)(\cos 2\varphi + 2L\sin 2\varphi) + \frac{z_{B1}}{z_{B2}} (\sin^{2}\varphi - L\sin 2\varphi) + \frac{z_{B1}}{z_{B2}} (\sin^{2}\varphi - L\sin 2\varphi) \right| \qquad (2.3)$$

Для каждого ϕ при заданных h и Ω расчетное значение сжимающей силы P_n определяется из условия

$$\overline{P}_{p} = \min \left[\overline{P}_{g}(\varphi, \overline{h}, \overline{\Omega}); P_{m}(\varphi, \overline{h}) \right], \qquad (2.4)$$

где \overline{P}_{u} и \overline{P}_{np} определяются из формул (1.6) и (2.3).

Оптимальный проект оболочки определяется из условия

$$\overline{P}_0 = \max_{\overline{P}_p} \overline{P}_p = \max_{\overline{P}} \min[\overline{P}_R; \overline{P}_{np}]. \tag{2.5}$$

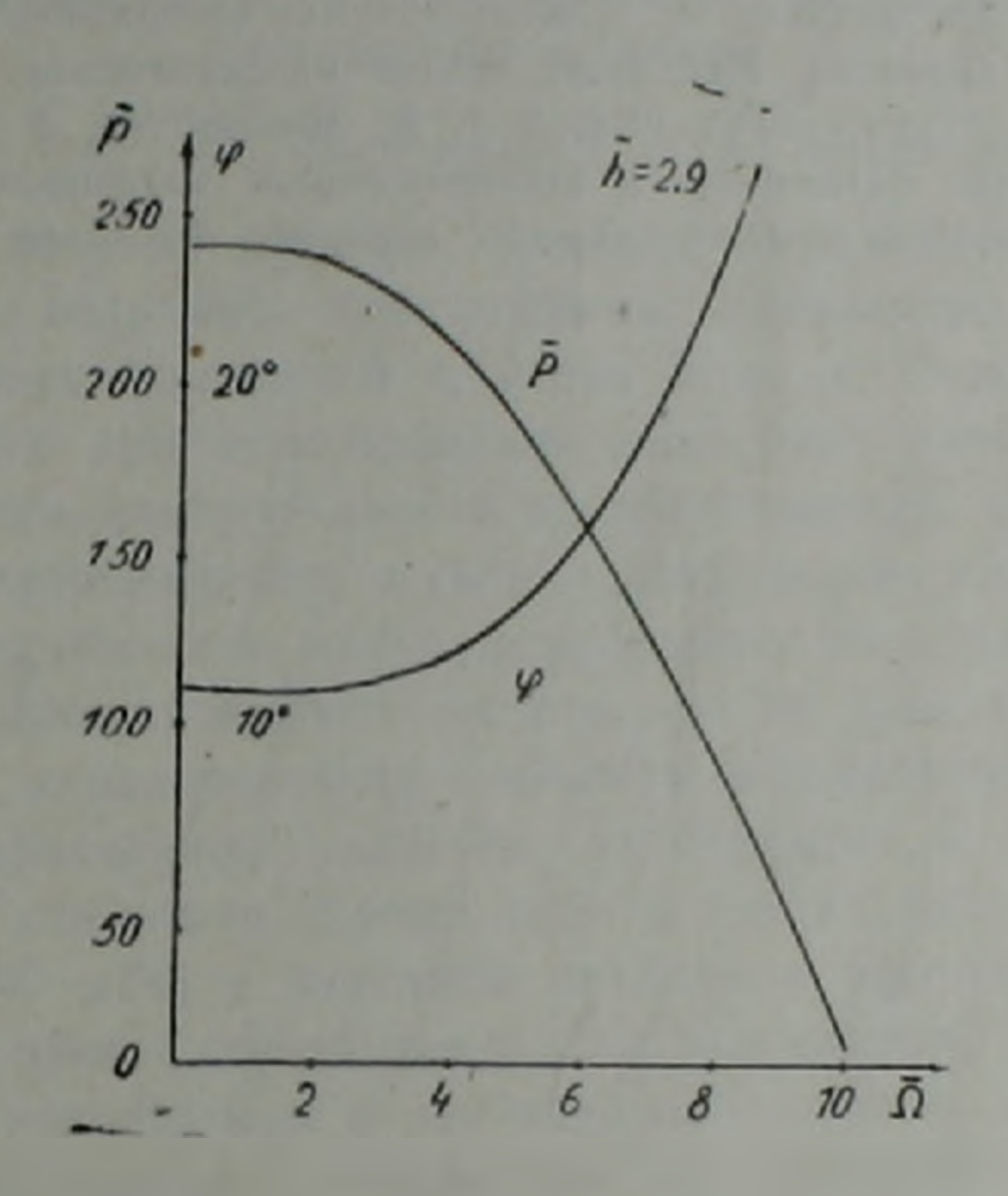
Рассмотрим цилиндрическую оболочку, изготовленную из монослоев ортотропного КМ с характеристиками (⁷)

$$B_{22}^{\circ} = 0.33B_{11}^{\circ}, \ B_{12}^{\circ} = 0.082B_{11}^{\circ}, \ = 0.16B_{11}^{\circ},$$

$$\sigma_{B1} = 1.9 \ 10^{-1}B_{11}^{\circ}, \ \sigma_{B2} = 0.25 \ 10^{-2}B_{11}^{\circ}, \ \tau_{L0} = 0.075 \ 10^{-2}B_{11}^{\circ}.$$

При этих данных и $l/\pi R = 0.5$ для различных \overline{h} , $\overline{\Omega}$ в таблице приведены значения расчетных нагрузок и соответствующие оптимальные углы. При $\overline{h} = 8.49$ и рассмотренных нагрузках активным является лишь ограничение на прочность. Следовательно, оптимальным является угол $\varphi_0 = 0^\circ$.

ō	ħ		
	1,15	2,9	8,49
0	41 20°	236 10°	1596 0°
2	37 20°	233	1596 0°
+	24 30°	208 12°	1596 0°



На графике при $\hbar=2.9$ приведены зависимости расчетной нагрузки и оптимального угла π от величины первой частоты собственных колебаний Ω .

Ереванский государственный университет

च. च. १४०१४०

Կոմպոզիցիոն նյութից պատբաստված, տռանցքային ուժով սեղմված օպտիմալ գլանային թաղանթի նախագծումը ամբության և սեփական տատանումների նանախականության վրա սանմանավակումների դեպքում

Աշխատանքում գտնված է տրված սնփական տատանումների առաջին մաճախականություն ունեցող, առանցքային ուժով սեղմված, կոմպողիցիոն նյութից պատրաստված փակ գլանային թաղանքի օպտիմալ նախադիծը ամրության սահմանափակման ղեպրում։ Կախված առաջին (ամենափոքր) սեփական տատանումների հաճախականության արժերից և թազանքի հաստությունից, որոշվում է թազանթև օպտիմալ կսուսցվածրը, որը ապահակում է նրա ամենամեծ կրողունակությունը։

ЛИТЕРАТУРА-ЧРЦЧЦЪПЪРВПЪЪ

1 В. В. Болотин. Динамическая устойчивость упругих систем, ГИТТЛ, М.—Л., 1956. 2 С. А. Амбарцумян, Общая теория анизотропных оболочек. Наука, М., 1976. 3 Н. А Алфутов, П. А. Зиновьев, Б. Г. Попов, Расчет многослойных пластинок и оболочек из композиционных материалов, Машиностроение, М., 1984. 4 В. В. Васцьев, Механика конструкций из композиционных материалов, Машиностроение. М., 1988. 5 В. С. Саркисян, Некоторые задачи математической теории упругости анизотропного тела, Изд-во ЕГУ, 1976. 6 А. К. Малмейстер, В. П. Тамуж, Г. А. Тетерс, Сопротивление полимерных и композиционных материалов, Зинатие, Рига, 1980 — R. М. Jones, М. Сап съ от сотравите materials, М.: Стом — НП. N. У., 1975.